体性投射からみた視床誘発電位の回復過程

千葉大学医学部第一生理学教室

渡 部 士 郎 Shiroh WATANABE

(昭和40年9月1日受付)

I. まえおき

神経系の研究において, 興奮の回復過程は, 活動 電位とともに神経細胞の動的特性を知る手がかりと なるもので, これまで多くの研究者がいろいろの実 験対象について観察を行つている。このことは、初 め未梢の軸索についてしらべられ、近年におよんで 次第に中枢神経についても行われるようになつた。 すなわち、ネウロン全体およびシナプス連絡を含め た脊髄反射回路の興奮回復の研究では、Paillard、 (1955)(18), 鈴木・本間 (1957)(25), 本間 (1959)(8), 伊谷 (1960)⁽⁹⁾ などの研究があり、 さらに上位中枢 では毛帯および内包 (Winter & Frost, 1964)(27), 視床 (Poggio & Mountcastle, 1963(19)), 体知覚 野 (Heinbecker & Bartley, 1940⁽⁷⁾; Amassian, 1951⁽¹⁾; Shagass & Schwarz, 1961⁽²³⁾), 視覚野 (Evarts et al, 1960⁽⁶⁾), 聴覚野 (Chang, 1950⁽⁵⁾; Schwarz & Shagass, 1962(22)) などの研究が報告 されている。

一方,未梢からの特殊感覚ネウロンが,視床諸核の うち、特にその後腹側核に濃密に終止することはよ く知られている。すなわち解剖学的に延髄後索核-内 側毛帯を経る線維が認められ (Ranson & Ingram 1932)(20), また電気生理学的にも, 同核内に末梢の 体部位配列の再現が、かなり限局性に行われている (Mountcastle & Henneman, 1949(14); Mountcastle & Henneman, 1952(15)). しかし同核には 上記の後索内側毛帯系以外に、脊髄前索を上行する 脊髄視床路もまた散在性に投射しているとする研究 (Whitlock & Perl, 1959(26)) も報告されている。 興奮性回復過程の研究は、その実験方法として本 質的に2つの刺激を行うことを前提とするものであ る。この場合2つの刺激(前置刺激と試験刺激)は 同一部位もしくは極めて近接した部位に与えられる のが通例であるが、これを、それぞれ異なる末梢部 位で行つても、おのおのの中枢終止部位が、極めて 近接しているか、または終止領域の重なり合いを持 つ場合、両者の応答の間に時間的、または空間的い ずれの意味においても何らかの干渉が起り得ること は十分考えられることである。すなわち異なる末梢 部位刺激によつてしらべられた視床後腹側核興奮回 復過程が、どのような動的態度を示すかは、同核に 終止する末梢投射についての種々の見解との関連に おいて、非常に興味のある問題である。本報告の実 験はこのような見地に立つて行われたものである。

II. 実 験 方 法

動物および麻酔: 実験は体重 2.1~3.2 kg の成熟したネコ 18 匹について行つた。 実験に先だち、Chloralose 42.5 mg/kg、Methylurethane 500 mg/kg の量で動物を麻酔する。それには Chloralose 0.85%、Methylurethane 10% の混合溶液を 5cc/kg の割合で腹腔内注射し、30~40 分後に手術を開始した。 この薬量によつて 10~12 時間にわたる実験でも良好な中等度麻酔が得られた。 なお同時にGlucose 液を追加することにより一層安定した状態が確保された。手術はまず頸部の正中切開によつて気管カニューレを挿入し、上気道の分泌物の流下による窒息を防いだ。また頭皮正中切開後の頭皮剝離、上肢および下肢神経幹刺激を行うための皮膚切開も行つた。

記録方法: 記録部位の定位は Jasper & Ajmon Marsan (1958⁽¹⁰⁾) および Snider & Niemer (1961⁽²⁴⁾) の Stereotaxic atlas によつた。上記の前手術ののち,東大脳研型脳定位固定装置に腹位に固定したのち,前記 atlas の Fr. 10.5~8.5,右側方 3.5~7 より やや広い範囲に相当する頭骨および硬膜を除去し,さらに電極刺入部位の軟膜を小部分はく離しておく。視床後腹側核の記録範囲は前記 Atlas の Fr. 10.5~8.5,右側方 3.5~7,H+3~-3

の範囲で行つた。

電極: 1/5注射針用のステンレスパイプ (外径 $0.3\,\mathrm{mm}$) を長さ $8\,\mathrm{cm}$ に切断したものに、 $0.075\,\mathrm{mm}$ エナメル線を封入した同心電極を使用した。パイプ の外側はエナメル線塗料を Solvent naptha でうすめた液に浸し、これを加温焼付けする。この操作を数回繰返し、被腹が十分完成したのち、先端のみ $0.2\,\mathrm{mm}\sim0.4\,\mathrm{mm}$ にわたり被腹を除去する。電極は使用に先立つて先端を温血用リンゲル液中に浸したまま、 $6\sim12\,\mathrm{em}$ 間にわたつてリード線を短絡したまま放置し、ノイズの発生を抑えておく。不関電極としては直径 $1\,\mathrm{mm}$ の銀線を数本よりあわせた長さ5 cm の棒を頭皮と頭骨の間に挿入した。なお実験の後半には一部、電解研磨によるタングステン微小電極をガラス毛細管電極内に封入絶縁したものをも使用した。

装置: 増巾器には American Electronic Laboratory 社製 type 251 A. D.C.~AC Amplifier を使用し、その出力を Tektronix 社製 Type 502 陰極線オシログラフに導き、三栄測器製ロングレコーディングカメラで記録した。刺激装置のシステムとしては、Tektronix Type 160A Power Supply

を電源とし、Type 162 Wave form generator を 主発振器とし、これで2台の Type 161 Pulse Generator を、オシログラフと共に trigger し、各 161 の出力を isolator を介して動物に与えた。

なお交流電源からの電圧変動を防ぐため、上記の 実験装置はすべて 3 KVA 容量の磁気増巾型自動電 圧調整器を経て動作させてある。

III. 実 験 成 績

A 誘発電位について: はじめ対側体肢神経幹に電極間距離 3 mm の白金線電極をあて、持続 0.5 msec の直角波刺激を与えた。この際得られる視床外後腹側核誘発電位を、左脛骨神経刺激の場合について説明すると、第1の陽性波の潜時を 10 msec 前後、第2の陰性波を 20 msec 前後、第3のややゆるい経過をもつ陽性波の頂点を 40 msec 前後にもつ3相性の波を得る。図1の左側の挿入図下端はこの3相の経過を示している。後述の部分で実際に示すように、本報告では、前置刺激と試験刺激を異る神経幹で行う場合があるが、その際それぞれの刺激に対する応答の潜時波型、振幅は異なることが多い。これは、ひとつの部位から導出するのであるから、た

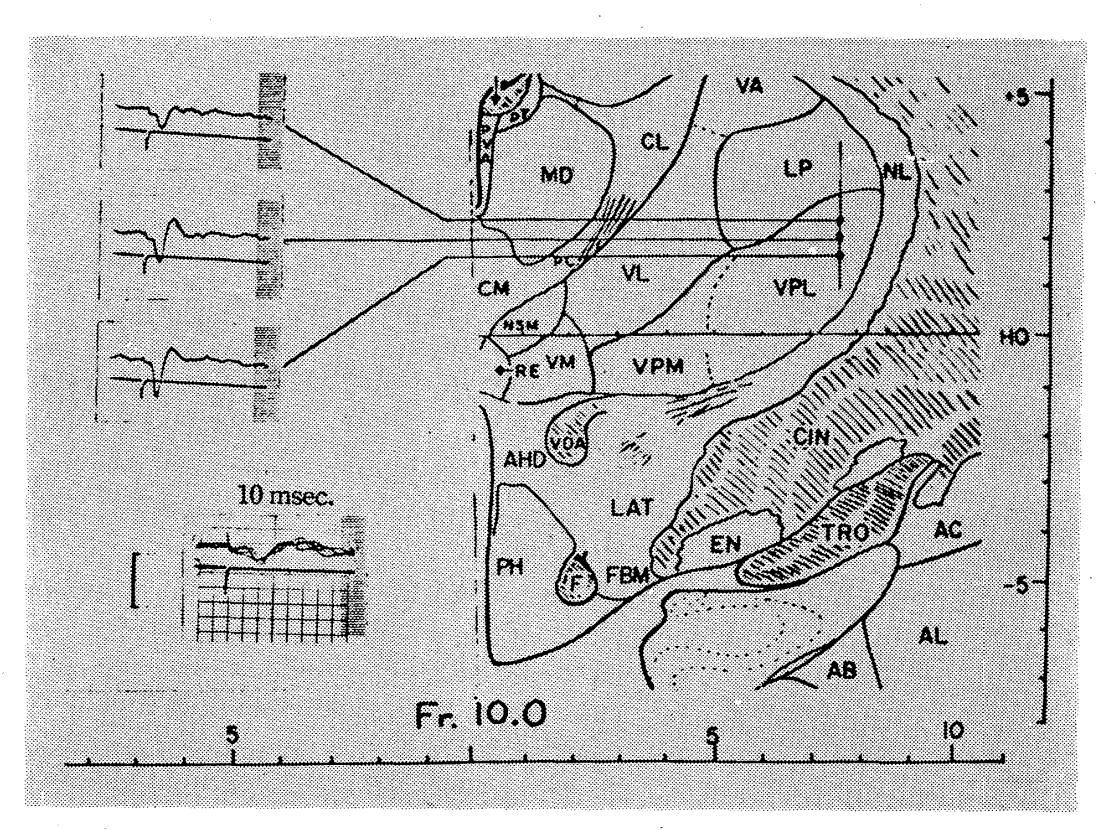


図1. Jasper & Ajmon Marsan (1958) の stereotaxic atlas の Frontal 10.5 の面における電極位置および、それに対応して得られた誘発電位。 刺激は左脛骨神経。 左下の挿入図は速い掃引で重ね撮りしたもの。 目盛は 10 msec.

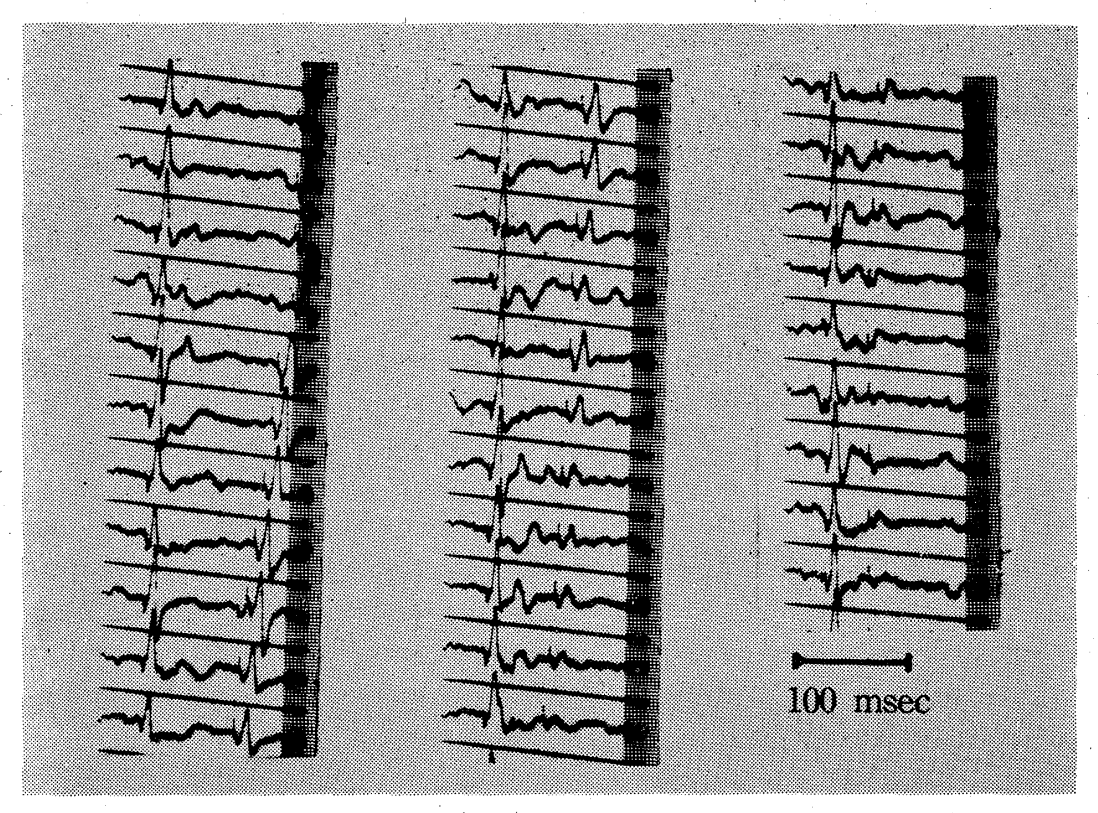


図 2. N. tibialis を前置刺激, N. peroneus を試験刺激した場合の回復の連続記録。刺激間隔を次第に近ずけると試験刺激応答の振巾は小さくなる。

とえ視床に対する部位局在性投射において,投射領域の重なり合いがあつたとしても,ある特定の記録部位においては,異なる末梢からの投射に対しては投射の濃密度において程度の差があるから,当然のことである。この報告においては,このような応答間の特質の差には触れないで,主として前置刺激によつて,試験刺激応答の振幅が影響を受ける現象にのみ注目した。

B 回復の測定: まず、あらかじめ $2.5\sim3.5$ 秒に一回の割合で試験刺激のみを与え、それに対する 3 相性応答を観察記録して、これを対照値としたのち、前置刺激を与えた場合、3 相性応答のうち後の 2 相性の波高値の変化を測定し、その振幅の大きさをグラフ上にとつて回復過程をあらわす方法をとつた。視床核の内在的特質によつて、視床の電位は、ほぼ 10 c/s 前後のゆるい電位変動をもつて常に動揺しており (Andersen et al, $1964^{(3)(4)}$). 誘発電位はそれによる軽い振幅変調をうけるというこの点を考慮して、対照値および各時間間隔での回復測定は大むね 3 回づつ行い、安定した成績を得るようにつとめた。なお実験中、応答を常に監視する使宜のためもあつて、回復の実際の測定には、両刺激間隔を大きく離しておき、漸時近づけてゆく手順で測定

した。導出部位は電極を刺入した上で、オシロスコープ上で監視しながら、視床後腹側核内で、試験刺激に最もよく応ずる部位を得るため、若干電極を上下の方向に移動させた(図1A,B,C)。一部単位放電を指標とする実験にあたつては増巾器出力の一部を電力増巾回路にみちびき、音による監視をも並用した。図2に実際の経過を示す。なお刺激度はいずれも中等度の強度に保つた。

 ${f C}$ 同一神経幹刺激による回復過程: これは一般の方法と全く同じ方法で測定した。図 ${f 3}$ はこの結果を示すもので,図 ${f 3}$ ${f A}$ はネコ上肢において撓骨神経,図 ${f 3}$ ${f B}$ は下肢腓腹神経において,おのおの ${f 2}$ 重刺激を与えた場合の回復過程である。 ${f A}$ および ${f B}$ 図からわかるように,誘発電位は平均値の ${f 20}\sim25\%$ におよぶ動揺を示している。

Poggio & Mountcastle (1963⁽¹⁹⁾) は Sodium Pentobarbital による深麻酔ネコのいわゆる腹側基 底核群 ventrobasal complex において、記録部位 に対応する末梢皮フを2重電気刺激した場合の回復 過程をしらべている。彼らは単位放電の数を平均した値で側定しているが、刺激間隔 130msec の附近で軽度の過常期をみている。この報告の実験成績では、前に述べた動揺があり、たとえ対称値をこえる

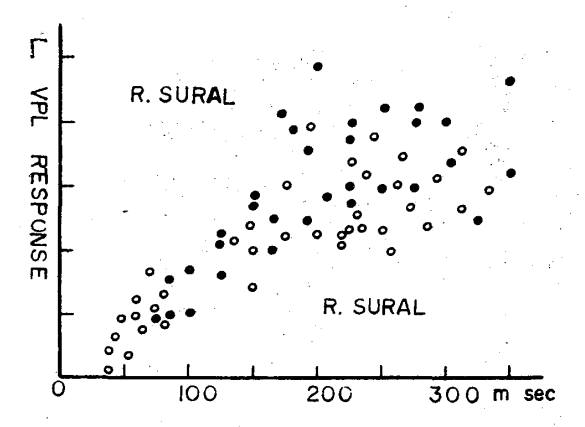


図3. A 右 N. suralis を2重刺激して得られた回復過程。横軸は刺激間間隔。縦軸は左側 VPL 核誘発電位の振巾。白丸, 黒丸は同じ動物での別々の回復実験。

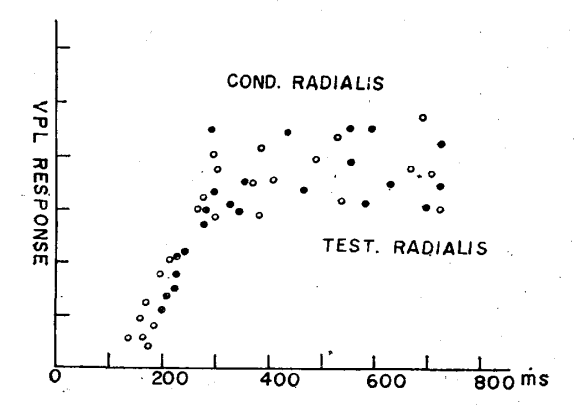


図3.B 右撓骨神経2重刺激で得られた回復過程。他はA図と同じ。

値が A 図では $500\sim300$ msec, B 図では 200 msec 附近で得られているにしても,はつきりと過常期を 断定するまでには至らなかつた。絶対不応期は A 図では 100 msec, B 図では 40 msec であり,B 図の値は P Oggio らの得た結果と一致している。 A 図の値が異るのは,不応期およびその後の回復過程が,麻酔薬に対する動物の感受性,したがつて麻酔の深度に強く影響される(Winters & Frost) (27) ことも,ひとつの重要な因子と思われる。

D 同一体肢の2神経幹刺激による回復過程: 下肢神経幹において,脛骨神経および総腓骨神経を それぞれ試験および条件刺激して回復を測定した。 図4にその実験結果を示した。試験刺激応答の振幅 減少は、刺激間隔 400 msec 附近からはじまり、間 隔が短かくなるに従つて、ほぼ指数曲線に近い経路 をたどりながら急激に減少している。刺激間隔 80 msec 以内では、試験刺激に対する応答は全くみられず絶対不応期にあることが知られた。検討した結 果、このような不応期の延長は、動物の全般状態の

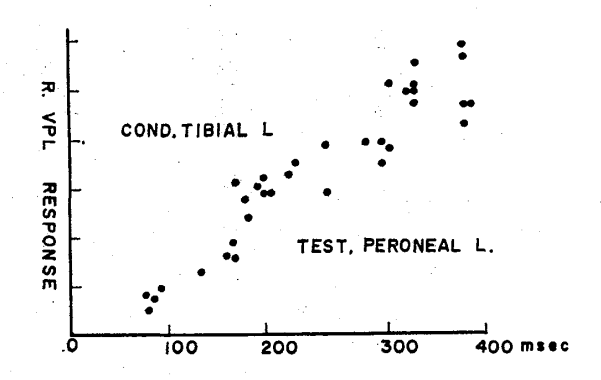


図4. 前置刺激を 左N. tibialis, 試験刺激を 左N. peroneus に与えて得られた回復過程。

悪化によつて、より一層強調されることがわかり、Glucose-Ringer 液の追加によつて状態が改善し、興奮性も安定することが知られたので、以下の実験に関しては、すべて、麻酔剤をGlucose-Ringer 液と混合して与え、実験中も適当に同液を追加して与えるようにした。

E 異なる体肢の神経幹刺激による回復過程: 前の実験によつて、前置および試験の2刺激を同一体肢の異る神経幹に与えても、視床誘発電位の間に干渉のおこることが知られた。この実験方法をさらに進め、異なる体肢の神経幹刺激の誘発電位の間にも類似の現象が存在するかいなかを確かめるため、さらに次にのべるような1および2の実験を行なつた。

1 対側および同側体肢神経幹刺激による回復:

Kruger & Albe-Fessard (1960⁽¹¹⁾) は記録側と 同側および対側の前肢神経刺激により、それぞれ 9.9 msec から 12.8 msec の潜時をもつ誘発電位を 得ている。もし視床に対する投射が、全く脊髄後索 →内側毛帯系のみによつて行われているのであれ ば、視床誘発電位は記録側と反対側の末梢刺激によ つてのみ得られるはずであるが、実際はそうではな い。まえおきのところで簡単にふれた脊髄視床路い わゆる extralemniscal system が、同側および対 側の後外腹側 (VPL) 核, 外腹側 (VL) 核, および 一部は後外側 (LP) 核に散在性に終止している。 こ のような投射を受ける視床中継細胞は、はつきりし た部位局在性がなく,体駆幹全体,前および後肢, あるいは両側体肢などから広く末梢感覚インプルス を受け入れている。Kruger らの測定した同側末梢 刺激による誘発電位の潜時はこのような経路によつ て誘発されたものと考えられる。これらの2系 (lemniscal および extralemniscal) の視床後腹 側核における終止は同核内で微視的に混在している

から、大きな同心電極で導出すれば、両系による誘発電位は振幅の点からは区別できない。したがつて、このような視床中継細胞群の配列は当然、同側末梢刺激応答と対側末梢刺激応答との間に干渉をおこすことが考えられる。このような観点から、前と同様の方法で、左右体肢神経幹刺激による視床回復過程をしらべた。左右の神経幹としては、浅撓骨神経をとり同側に前置刺激、対側に試験刺激を加えた。図5にその結果を示す。同図から両応答問の干渉は

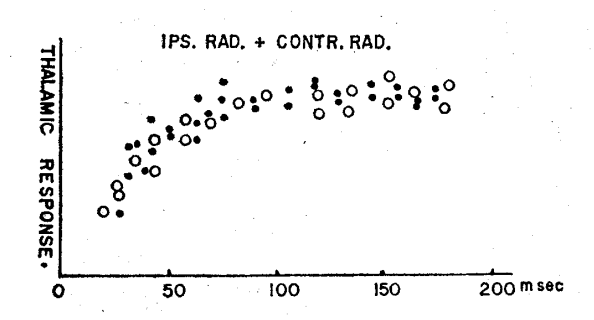


図5. 視床の記録側と同側の N. radialis を前置刺激,同じく対側の N. radialis を試験刺激して得られた回復過程, これまでより絶対不応期が短縮している。

D の実験よりさらに短かい時間間隔,すなわち約 100 msec 附近から始まり、刺激間隔が、せばまるに従つて強い干渉が起こることは D の場合と同じで、しかもその経過が前者より一層急峻であることがうかがわれる。なおこの実験に関して(1)誘発電位の振幅は対測刺激の場合の方が大きく安定していること(2)刺激部位を逆、すなわち対側神経に条件刺激、同側神経に試験刺激を与えても、回復過程の経過には注目すべき差は見られない、などの点が観察された。

2 上肢神経および下肢神経刺激による回復:

前項(IIIE1)でのべたことと同じ理由によつて、上肢神経幹および下肢神経幹刺激による各応答の間にも、これまでと同じような干渉の起こることが考えられたので、これをしらべるため、導出側と反対側の上、下肢神経幹をそれぞれ刺激して、回復過程をしらべた。下肢神経として、脛骨神経、上肢神経として撓骨神経に、それぞれ前置および試験刺激を与えた。その成績を図6に示してある。同図からわかるように、この場合、両応答間の干渉は前(IIIE1)の場合よりやや長い時間間隔から始まつているが、注目に値する点は絶対不応期が特に短かくなつていて、刺激間隔が30msec 附近ではじめて試験刺激の完全ブロックが起こつている事実であ

COND. TIBIAL

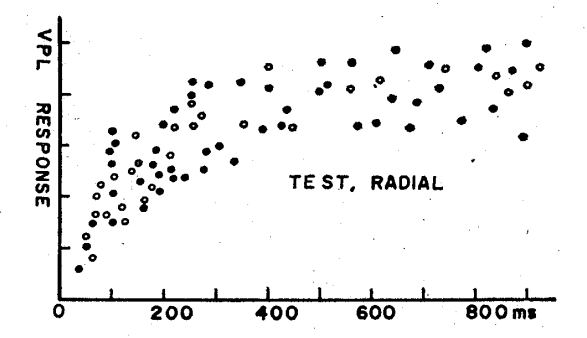


図6. 対側の N. tibialis を試験刺激,対側の N. tibialis を試験刺激して得られた回復過程。前者より更に短かい絶対不応期,更に速い回復を示している。

る。

F 単位放電からみた視床興奮性回復: これまでの実験成績を、多くの解剖学的ならびに生理学的知見と比較検討するとき、視床の興奮性回復を、さらに細かく構造と機構に結びつけて論ずる必要がある。そのためには、どうしても個々の視床中継細胞が興奮性回復に際して、どのような動的態度をとるかについて、具体的に知る必要がある。すなわち視床中継細胞のユニット放電について回復過程をしらべなければならない。 Poggio & Mountcastle (1963⁽¹⁹⁾)は同一末梢部位の2重刺激によつて、既にこのことをしらべていることは既にA項で述べたが、本報告における異なる末梢部位刺激による回復過程はまだしらべられていない。

この目的のために使用した微小電極は,径 0.17 mm のタングステン線(General Electric 社製)を 2 mol NaOH 溶液によつて電解研磨し,これを外径 2 mm のパイレックスガラス管から作製したガラスマイクロピペット の中に封入し先端 $2\sim3\mu$ を露出させたもので,抵抗は $6\sim12$ meg Ω であつた。この電極を,微動装置つき電極支持器につけて単極導出を行つた。不関電極は同心電極の場合と同じものを使用した。

図7 A, B, C はこの方法によつて行われた回復 測定実験の記録の一部で A, B, C はすべて連続記録を切断してならべたものである。この場合の刺激 部位は,試験刺激は同側脛骨神経,試験刺激は対側 脛骨神経である。 同図 A は刺激強度を掃引の左側 に附した数値で高まりを示している。刺激強度のわずかの差によつてユニット放電が増加している点は 興味深い。この際,刺激強度の増加にともなつて,

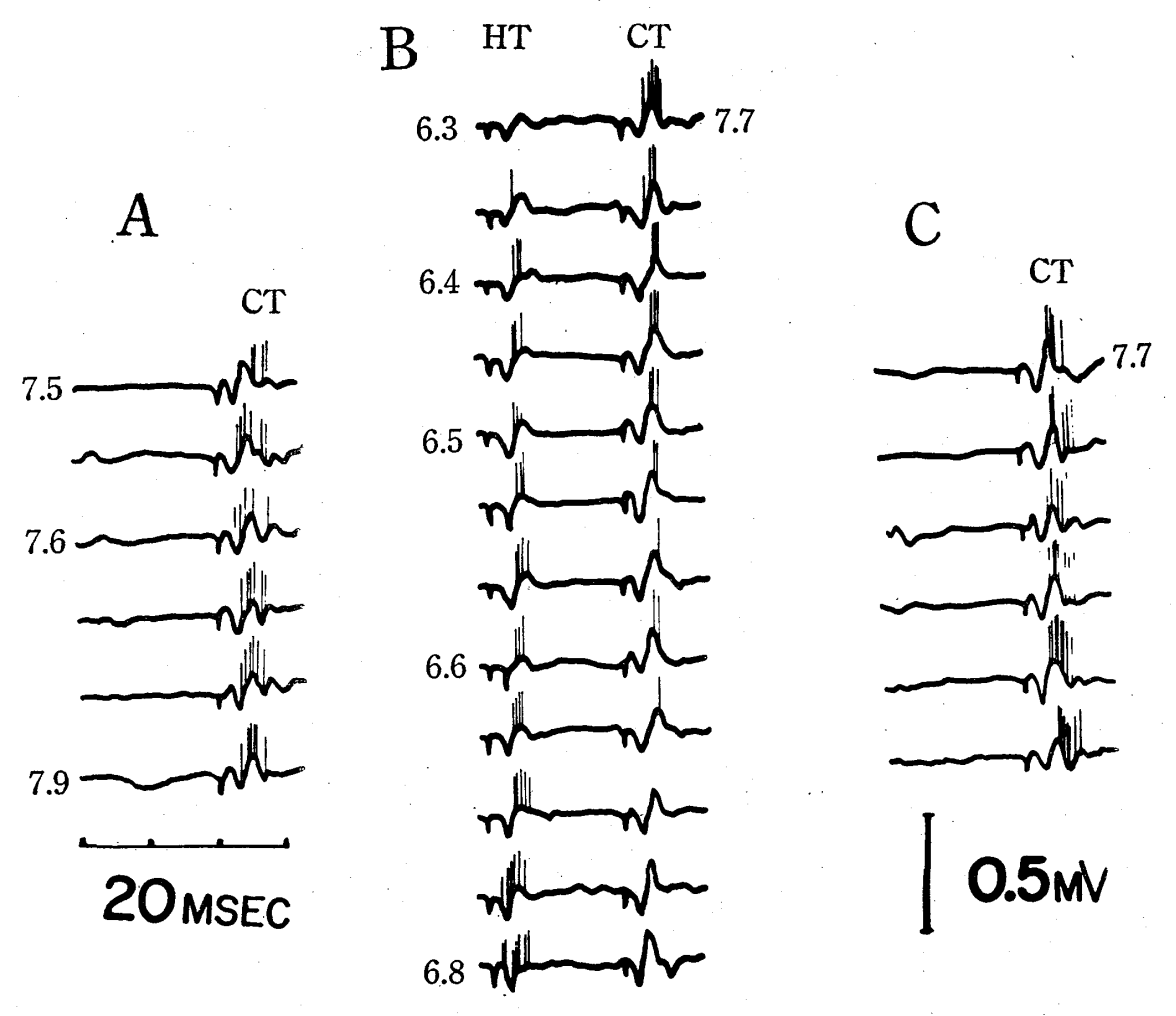


図7. 単位放電による回復観察の経過,各掃引の左端に附した数値は刺激の強さをあらわす。 CT は contralateral tibial nerve を,また HT は homolateral tibial nerve をそれぞれ刺激したことを示す。B, C は連続記録。説明本文。

単位発射の出現がわずかに左方に変異していること が認められた。この記録だけからでは,この放電が, よりみじかい回路によつて駆動されたか、電極から 等距離にある別の細胞が興奮したのか, いづれと も決定出来なかった。 B 図は同側脛骨神経を前置 刺激した場合の記録で、試験刺激の強度は 7.7 に保 持し、記録の範囲内で刺激間の間隔は一定である。 このとき B 図の各掃引の左側に附し数値によって 前置刺激の強度を増してやると, 前置刺激の強度の 増大に応じて単位放電が増してゆくと共に, 一方試 験刺激にこれまで応じていた単位放電が減少してゆ くという事実が認められた。電極の大きさならび に、単位放電という2つの条件から、記録された活 動電位は導出電極の先端附近の極めて近くにある中 継細胞からの放電であり、 両刺激に応じたユニット は同じものか、そうでないにしても極く限られた小 数の細胞集団の興奮でなければならない。従つてB

図で得られた記録は、これまで同心電極の実験成績について述べた場合と同様、両刺激間の干渉が、ユニット放電の抑制(もしくは回復)という形であらわれた現象と解釈すべきである。このようなユニットを探すことは、大きな電極の実験の場合に比べてやや困難であり、現在まで例数も多くないが、単位放電の数を指標として測定した回復過程の一例を図8に示した。この例は両側の撓骨神経刺激によるも

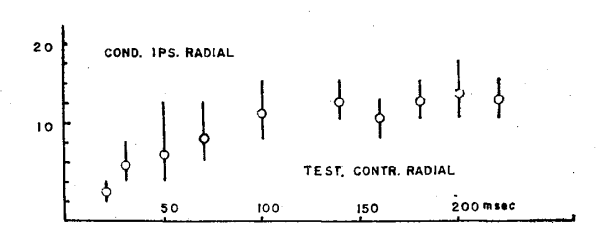


図8. 同側および対側撓骨神経をそれぞれ前置および試験刺激して得られた視床 VPL 核単位放電の回復過程。

ので、やはり多少の動揺を示しており、はつきりし た過常期は認められない。干渉は 100 msec 附近で 始つており、 絶対不応期の値は約 40 msec となつ ている。単位放電を記録する実験で、もうひとつ、 別の観点から興味をひく事実が観察された。すなわ ち図7Cにおいて最上段の掃引は前置刺激を中止し て直後のものであるが、下の掃引ほど単位放電が多 くなつていることが認められる。これは2重刺激に 対する視床レベルの馴応 habituation ともいえる が, 前置刺激の中止によつて, 漸時回復しているか ら、見方によつては、さらに時間の次序の大きい回 復現象ともみることができる。しかし時間の単位が 10 秒前後の現象でもあり、通常の意味での回復過程 には当てはまらない事柄であるので、この報告では 詳しくは扱わない。しか し回復の測定にあたつて は、既述の如く、刺激間隔を長いところから短かい 方に実験手順を行つたので、この現象による影響は 排除し得たものと考える。

IV 考 察

A 導出部位について: さきに実験方法のところ で揚げた電極先端の範囲を示す定数は視床後外腹側 (VPL) 核に相当する。一般に皮膚知覚その他の視 床電気生理学的研究において用いられている, いわ ゆる腹側基底核群 ventrobasal complex は、上記 の核および後内腹側 (VPM) 核を含めた部分に一致 し, (Poggio & Mountcastle), 本報告でなされた 記録範囲は勿論との中に入る。導出部位はこのよう に Jasper & Marsan および Snider & Niemer (1960) の Atlas の示す定数によったのであるが, 実際に電極の先端を確かめるためには、脳切片標本 によつてしらべる必要がある。しかし電極支持器を 含めて脳固定装置による誤差は 1 mm 前後といわ れており、実験にあたつては、ネコの anterior lateral gyrus の外側縁を確認して電極を刺入して いるので、 1 mm 以内の誤差において目的部位に 到達しているものと考えられる。

B 誘発電位について: Andersen ら (1964⁽³⁾) によれば、視床誘発電位は早い2相性成分と、それに続くおそい陽性波のくりかえしから成るという。 はじめの2相性成分は陽性一陰性の経過をもち、陽性成分は視床シナプスに至るまでの節前成分によるものであり、つづく陰性成分は視床中継細胞がシナプス伝達によつて起した興奮によるものであるとしている。またこの陰性波は第3の位相、持続約 100

msec の陽性波にうけつがれ, これが数回くり返して終るという。今回の実験成績ではこの繰り返して現われる陽性波を確実に認めることは出来なかつた。また第1の成分も記録部位と刺激部位の関係で常に記録されるとは限らない。しかし誘発電位の成分のうちで最も振幅が大きく安定しているのはこの第2の陰性成分であり,これが測定値を決定する最も大きな成分であるから,この方法は視床興奮性回復をしらべる目的に一致する電位であるといえる。

C 不応期および回復について: Frost (1964⁽²⁶⁾) は無麻酔ネコの内側毛帯について 不応期および回復をしらべ、絶対不応期として2 msec, 70% 回復時間として 10 msec を得、これが 軽麻酔時にそれぞれ 4 msec および 20 msec に延 長することをみている。本報告の成績では 30~80 msec におよぶ絶対不応期, さらにこれに数倍する 相対不応期が得られている。したがつてこのような 大きな値は,節前成分によるものではなく,視床中継 におけるシナプス伝達の活動力低下によるものと考 えなければならない。前置刺激インプルス伝達直後 のシナプス後膜のみの不応期が、測定された不応期 の初期の部分に含まれていることは確実としても, このような長い時間のブロックまたは伝達能力の低 下は説明できず、どうしても、これに見合う時間を もつて動作する反回性の抑制路を視床内に考えなけ ればならない。このような抑制ネウロンに関しては Andersen & Eccles (1962⁽²⁾) が視床内に分布す る反回性の抑制ネウロンのモデルを提出し, その後 (Andersen ら 1964⁽⁴⁾) 同ネウロンからと思われる 頻回性発射を記録している。 もちろん, ひとつの抑 制ネウロンの持続発射は20msec前後であるから、 ひとつの抑制回路をもつて全体を説明することは出 来ないが、このような回路がさらに多くの側副路を とつて中継細胞に反回的に働らくとすれば、全体と しての不応期および長い相対不応期は説明されるの ではないかと考える。

Andersen ら (1964⁽³⁾⁽⁴⁾) はその論文の中で,前に述べた 2 相性誘発電位のあとに現わる陽性波が後シナプス抑制によつて生ずるものであるといつている。すなわち,陽性波の成因としては 1) Marshall (1941⁽¹³⁾) のいうスパイク放電後の過分極 2) 後シナプス抑制路による,の 2 つの場合があるが,後過分極の大きさがインプルス発射に直接依存しない事実が多くの研究者によつて明かにされているので 1) の可能性は全くないとし,自発発射が陽性の最も少い

位相に一致した時点でみられることも 2) の方を理由 づけるとしている。著者も自発放電が基線の陰性の 最も強い位相においてよくみられることを経験して いる(図9)。しかし前にも述べたように Andersen

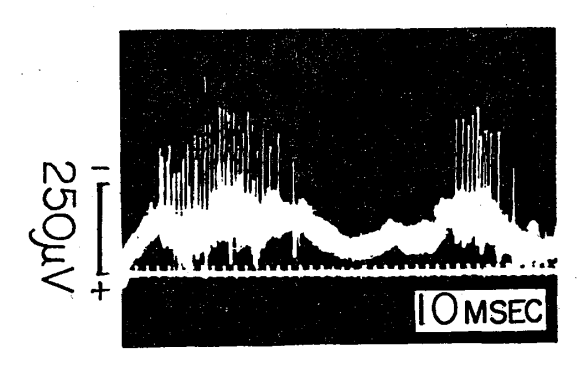


図9. 前図と同じくタングステン微小電極によつて得られた視床 VPL 核で記録された自発性単位発射。基線の動揺のうちで最も陰性の位相に一致して発射がみられる。

らのいう持続 100 msec 前後の律動はこの図ではあまり明らかでない。しかし、いずれにしてもこのような陽性成分をもたらす視床内の抑制ネウロンは反回性に、視床のインプルス中継作用を変調し、彼らのいう如く、 phasing activity によつて情報の中継に大きな役割をもつものであろう。

D 両側性誘発電位と伝導経路について:

Kruger & Albe-Fessard (1960(11)) の観察した 通り、この報告の実験においても両側の活動電位が 得られた。これは視床に対する投射が部位局在のは つきりしている後索一内側毛帯系のほかに、散在性 の投射をもつ脊髄視床路の投射をも受けるためであ る。すなわち後者の視床投射における散在性は単に 対側体肢のひろい範囲内というばかりでなく、同側 体肢にもおよんでいる。これは末梢側からみれば、 この系の投射がある程度両側性に行われていること の生理学的な証拠である。このことは本報告の 1) 同心電極を用いた実験 2) 微小電極による観察の両 者において認められた。すなわち 1) において記録 された集合電位は、後索一内側毛帯系を受ける細胞 と, 脊髄視床路を受ける散在性の細胞の両者の興奮 が同時に記録されたものであり、2)の実験におい て記録されたユニット(図7)は後の脊髄視床路に よつて、興奮したユニットと推察される。一般に神 経幹は前記両系に流入する入力を当然含んでいると 考えられるから、神経幹電気刺激によつて両系の興 奮が相次いで起こるとして差しつかえない。

E 単位放電およびその回復について: 図7に

示された単位放電およびその回復についてくわしく 考察する。図および各掃引に附した数値から、うか がわれるように、あるユニット放電に対しての最小 閾値と最大閾値の幅は小さい。したがつて同心電極 で測定された誘発電位の振幅の大小は、興奮に参加 する細胞数の大小によるのであろうということが推 察される。同図においても、 増幅器の時定数および 通過周波帯減を適当に選択することによつて基線上 に, 同心電極でみられたと同じような誘発電位が現 われ、単位放電は、前述の第2成分のピークの前後 に散在していることがわかる。なお同図Aでみられ たことは、刺激強度を高めてゆくと、単位放電の潜 時が短かくなるが、これは視床までの伝導経路には 種々の潜時をもつ多くの並行経路のうち、強い入力 によつて潜時の短かい回路が働くか 2) 電極の近く の別の細胞の興奮によるかの2つの場合があるが, 放電の振幅からみて、1) である可能性が大きいと 思われる。

単位放電の回復は、時間的にみて集合電位の場合よりいくらか短かい。ひとつのユニットにかかる反回抑制回路の放電は約20msecであるから(Andersen, 1964⁽⁴⁾)、全体的にみた場合より短かいのは当然である。したがつて、集合電位でみた絶体不応期および相対不応期における試験刺激誘発電位の振幅は、この視床内反回抑制路の全放電数の時間的分布に逆比例する関係にあるとすれば理解出来るが、現在のところそれに対する直接の証明はない。

F 麻酔と不応期について: これまでいずれの報告においても無麻酔の場合より,麻酔動物の不応期,特に相離不応期が著しく延長することが報告されている。したがつて今回の実験においても無麻酔動物で行えば,かなり違つた値が得られたであろうと思う。Winter & Frost (1964) は加算誘発電位法を用いた結果から特に麻酔動物において過常期が出現し易くなることを報告しているが,本報告では実験上の困難から,これを確認するには至らなかつた。

また麻酔深度が深まると回復が妨げられることについては直接の説明は得られない。しかし考えられる理由についてのべると、1)シナプス化学伝達に対する麻酔剤の阻害作用、2)シナプス後膜の興奮性回復における遅延、3)末梢から視床に至るインプルス伝達において、麻酔動物においては到達時間が散乱させられるため、シナプス伝達において時間的加重がおこりにくくなる。4)視床中継細胞の麻酔剤に対する感受性が、反回性ネウロンのそれより

も大きい, などの理由があげられるが, いずれも本報の段階ではまだ証明されたものはない。

G 末梢刺激部位と回復時間の関係について:

図3A, B, および図4, 5, 6を比較検討するとき, 一般に回復時間の長さが, 1) 同一神経幹の2重刺激による回復, 2) 同一体肢の異なる神経幹を刺激による回復, 3) 異なる体肢の神経幹刺激による回復の順序に短かくなる傾向が大体において断定できたと考える。このことは絶対不応期, 相対不応期のいずれについてもあてはまつている。すなわち,これを極めて図式的に示せば図10のような関係になる。

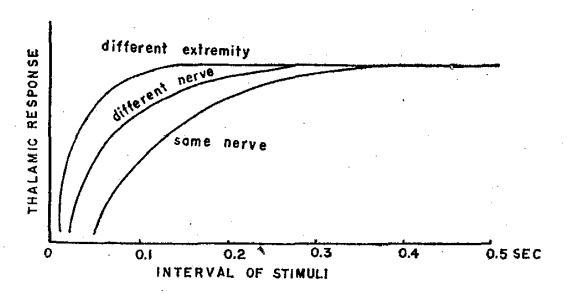


図 10. これまでの実験から推察された末 梢刺激部位と視床核興奮性回復の一般的関 係,末梢の刺激部位が遠くなるほど絶対不 期応は短かく,また回復も速まることを示 した。

もし、このような一般性が確実に存在するとすれ ば、このような現象を支えている形態学的ならびに 生理学的な根拠は何かということが次の課題とな る。この現象の時間的次序からみて, 反回抑制回路 (Renshaw, 1940) が大きな役割をもつことが決定 的であるとすれば、このネウロンのもつ形態がまず 問題となるが, Andersen (1962⁽²⁾) らの提出した 視床後シナプス抑制ネウロンの模型がこの説明に好 都合であると考えた。彼らの提出した抑制ネウロン は多数の分岐した軸索を視床中継細胞の細胞体に接 し、そこで抑制シナプスをつくるというのである。 その後, Andersen (1964(4)) は実際にその放電を 記録し、これが抑制ネウロンであることを確かめ ている。もしてのような分岐軸索を有する抑制細胞 がその周囲に抑制シナプスを送つているとすれば、 その近くにある中継細胞は、その抑制ネウロンに近 い程、細胞体に受けるシナプス分布は密であると考 えられる。抑制シナプスの分布が密であればあるほ ど, 伝達後の抑制は強く, したがつて不応期, 相対不 応期は延長する。一方視床における体部位局在の配 列の事実と上述の推論から,条件および試験刺激の 末梢部位が近ければ近い程、絶対不応期、相対不応 期が延長し、したがつて回復がおくれるとすれば、 図 10 の関係は説明できるのではないかと思う。

視床後腹側核の役割が末梢からの情報を中枢に中 継する点にある以上,情報の中断はその役割を否定 することであり、しかもそれが末梢神経における回 復現象よりはるかに長い時間の次序であることは, 一見理解し難いことである。しかし, 反射統合作用 について、広く研究されている脊髄においても伝達 回復については誘発筋電図法によって約 110 msec の不応期が報告されている。(本間1959⁽⁸⁾)。このよ うな中枢統合部における不応期の性質は、反射活動 または情報処理に必要な中枢の構造単位の特質らし く思われる。すなわち中枢では興奮単位そのものに は長い不応期はあつても,実験動物が末梢で電気刺 激を受けて,一時に大量のインプルスが同期的に視 床内に流入することはあり得ないし,全体としては 各ユニットが非同期的に動作しているから、個々の 中継細胞の不応期は中枢の情報処理にはさしつかえ ることはないと考えられる。

V. ま と め

クロラロース・ウレタンによる中等度麻酔ネコの 視床後外腹側核について、各種末梢神経幹刺激によ る誘発電位の振幅を指標とし、次の3つの場合について誘発電位回復過程をしらべた。すなわち、(1) 同一神経幹を2重刺激した場合の回復過程、(2)同 じ体肢の中の異なる神経幹にそれぞれ前置および試 験刺激を与えた場合の回復、(3)異なる体肢中の神 経幹にそれぞれ前置および試験刺激を与えた場合の 回復、の3つの場合である。これらの実験の結果を 比較検討すると、興奮性回復に要する時間の次序は 大きなものから1)、2)、3)の順になることか知ら れた。タングステン微小電極によつて単位放電数を 指標として同様の実験を行い、大体同様の成績が得 られた。

なお回復過程における視床内在性の反回抑制ネウロン (Andersen ら, 1962⁽²⁾, 1964⁽³⁾⁽⁴⁾) の役割について著者の見解を加えて考察し、同ネウロンによる視床陽性電位が視床中継作用の位相決定に重要な役割を示していると思われる成績をもあわせて示した。

本稿を草するにあたり終始有益な示唆を賜つ た本間教授に厚く謝意を表すると共に、実験、 図表の作製に助力された関谷、玉置の両学士に 御礼申し上げます。

文 前

- Amassian, V.: Cortical representation of visual afferents.: J. Neurophysiol., 14, 433-444, 1951.
- Andersen, P. & Eccles, J. C.: Inhibitory phasing of neuronal discharge.: Nature, Lond., 196, 645-647, 1962.
- 3) Andersen, P., McC. Brooks, C., Eccles, J. C. & Sears, T. A.: The ventrobasal nucleus of the thalamus; Potentetial fields, synaptic transmission and postsynaptic components.: J. Physiol., 174, 348-369, 1964.
- 4) Andersen, P., Eccles, J. C. & Sears, T. A.: The ventrobasal complex of the thalamus; Types of cells, their responses and their functional organization. J. Physiol., 174, 370-399, 1964.
- Chang, H. T.: The repetitive discharges of corticothalamic reverberating circuit.
 J. Neurophysiol., 13, 325-257, 1950.
- Evarts, E. V., Fleming, T. C. & Huttenlocher, P.R.: Recovery cycle of the awake and sleeping cat. Amer. J. Physiol., 199, 373-376, 1960.
- 7) Heinbecker, P. & Bartley, H.: Action of ether and nembutal on the nervous system. J. Neurophysiol., 3, 219-236, 1940.
- 8) 本間三郎: 誘発筋電図の基礎とその応用,日本の医学の1959年。第15回日本医学会総会学術総会記録。5,398,1959.
- 9) 伊谷昭幸: 運動単位導出の誘発筋電図による育 髄ならびに筋神経間シナプスにおける促通なら びに抑圧の研究. 日本生理誌, 22, 1087-1097, 1960.
- 10) Jasper, H. H. & Ajmon Marsan, C.: Diencephalon of the cat: Electrical stimulation of the brain, (Ed), Sheer, D. E., 203. Austin, Univ. Texas Press, 1958.
- 11) Kruger, L. & Albe-Fessard, D.: Distribution of response to somatic afferent stimuli in the diencephalon of the cat under chloralose anesthesia. Exp. Neurol., 2, 442-467, 1960.

- 12) Mallart, A., Martinoya, C. et Albe-Fessard, D.: Comparaison entre les types de stimulations naturelles qui évoquent des réponses dans les relais specifique ou les relais associatifs. J. Physiol. (Paris), 53, 421-422, 1961.
- 13) Marshall, W. H.: Observations on subcortical somatosensory mechanisms of cats under nembutal anesthesia. J. Neurophysiol., 4, 1-24, 1941.
- 14) Mountcastle, V. B. & Henneman, E. J.: Pattern of tactile representation in the thalamus of cat. J. Neurophysiol. 12, 85-100, 1949.
- 15) Mountcastle, V. B. & Henneman, E. J.:
 Pattern of tactile sensibility in the thalamus of monkey. J. comp. Neurol. 97, 409
 -440, 1952.
- 16) Mountcastle, V. B., Poggio, G. F. & Werner, G.: The relation of thalamic cell response to peripheral stimuli varied over an intesive continuum. J. Neurophysiol., 26, 807-834, 1963.
- 17) **中浜 博**: 視床の生理学,神経進歩, 8,27-48,1964.
- 18) Paillard, J. W.: Analyse électrophysiologique et comparaison chez l'homme, du réflexe de Hoffman et du réflexe myotatique. Pflügers Arch., 260, 448-479, 1955,
- 19) Poggio, G. F. & Mountcastle, V. B.: The functional properties of ventrobasal thalamic neurons studied in unanesthetized monkeys. J. Neurophysiol., 26, 775-806, 1963.
- 20) Ranson, S. W. & Ingram, W. R.: The diencephalic course and temination of the medial lemniscus and the Brachium conjunctivum. J. comp. Neurol., 56, 257-276, 1932.
- 21) Renshaw, B.: Activity in the simplest spinal reflex pathways. J. Neurophysiol.,3, 373-387, 1940.
- 22) Schwarz, M. & Shagass, C.: Effect of different states of alertness on somatosensory and auditory recovery cycles.

Electroenceph. clin. Neurophysiol., 14, 11 -20, 1962.

- 23) Shagass, C. & Schwarz, M.: Reactivity cycle on somatosensory cortex in humans with and without psychiatric disorder. Science, 134, 1757-1759, 1961.
- 24) Snider, R. S. & Niemer, W. T.: A stereotaxic atlas of the cat brain. Univ. Chicago Press, 1961.
- 25) 鈴木正夫・本間三郎: 電気刺激分析装置につ

- いて. 生体の科学, 8, 162~174, 1957.
- 26) Whitlock, D. G. & Perl, E. R.: Afferent projections through ventrolateral funiculi to thalamus of cat. J. Neurophysiol., 22, 133-148, 1959.
- 27) Winter, D. L. & Frost, J. D.: Recovery cycle in the lemniscal system. Electroenceph. clin. Neurophysiol., 16, 459-469, 1964.